

(19) 日本国特許庁(JP)

## (12) 公開特許公報(A)

(11) 特許出願公開番号

特開2004-93633

(P2004-93633A)

(43) 公開日 平成16年3月25日(2004.3.25)

(51) Int.Cl.<sup>7</sup>

G09G 3/30

G09G 3/20

H05B 33/14

F 1

G09G 3/30

G09G 3/20

G09G 3/20

G09G 3/20

H05B 33/14

J

612T

621B

67OK

A

テーマコード(参考)

3K007

5C080

審査請求 未請求 請求項の数 10 O L (全 11 頁)

(21) 出願番号

特願2002-250973 (P2002-250973)

(22) 出願日

平成14年8月29日 (2002.8.29)

(71) 出願人 000004260

株式会社デンソー

愛知県刈谷市昭和町1丁目1番地

(74) 代理人 100071135

弁理士 佐藤 強

(72) 発明者 犬塚 肇

愛知県刈谷市昭和町1丁目1番地 株式会社デンソー内

(72) 発明者 花木 孝史

愛知県刈谷市昭和町1丁目1番地 株式会社デンソー内

F ターム(参考) 3K007 AB05 DB03 GA00

5C080 AA06 BB05 DD18 DD29 FF12

JJ02 JJ04

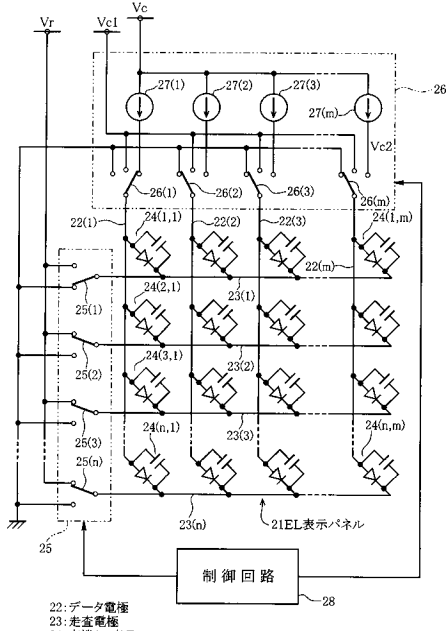
(54) 【発明の名称】 EL表示パネルの駆動装置及びEL表示パネルの駆動方法

## (57) 【要約】

【課題】有機EL素子の誘電体層界面に蓄積される電荷による素子の破壊を防止することができるEL表示パネルの駆動装置を提供する。

【解決手段】EL表示パネル21の走査期間の終了後から次回の走査期間が開始されるまでの間に有機EL素子24に対して順方向電圧Vc1を印加することで、誤発光を防止するために逆方向電圧が印加され、有機EL素子24の発光層とホール輸送層との界面に蓄積された電荷を消滅させる。

【選択図】 図1



**【特許請求の範囲】****【請求項 1】**

複数の走査電極及びデータ電極の各交点に、少なくとも電子輸送層、発光層及びホール輸送層より構成される有機EL素子を画素として配置してなるマトリクス型のEL表示パネルを駆動するもので、同じ走査期間に属する有機EL素子の内発光対象外の素子には逆方向電圧を印加するように構成されるEL表示パネルの駆動装置において、前記EL表示パネルの走査期間の終了後から次の走査期間が開始されるまでの間に、有機EL素子に対して順方向電圧を印加することを特徴とするEL表示パネルの駆動装置。

**【請求項 2】**

全ての走査電極を走査した後、次の走査が開始されるまでの間に前記順方向電圧を印加することを特徴とする請求項1記載のEL表示パネルの駆動装置。 10

**【請求項 3】**

少なくとも、直前の走査期間において逆方向電圧が印加された有機EL素子に対して前記順方向電圧を印加することを特徴とする請求項1または2記載のEL表示パネルの駆動装置。

**【請求項 4】**

前記順方向電圧を印加した後、有機EL素子に対して0Vを印加することを特徴とする請求項1乃至3の何れかに記載のEL表示パネルの駆動装置。

**【請求項 5】**

前記順方向電圧は、有機EL素子の発光閾値未満の電圧であることを特徴とする請求項1乃至4の何れかに記載のEL表示パネルの駆動装置。 20

**【請求項 6】**

複数の走査電極及びデータ電極の各交点に、少なくとも電子輸送層、発光層及びホール輸送層より構成される有機EL素子を画素として配置してなるマトリクス型のEL表示パネルを駆動するもので、同じ走査期間に属する有機EL素子の内発光対象外の素子には逆方向電圧を印加するEL表示パネルの駆動方法において、

前記EL表示パネルの走査期間の終了後から次の走査期間が開始されるまでの間に、有機EL素子に対して順方向電圧を印加することを特徴とするEL表示パネルの駆動方法。

**【請求項 7】**

全ての走査電極を走査した後、次の走査が開始されるまでの間に前記順方向電圧を印加することを特徴とする請求項6記載のEL表示パネルの駆動方法。 30

**【請求項 8】**

少なくとも、直前の走査期間において逆方向電圧が印加された有機EL素子に対して前記順方向電圧を印加することを特徴とする請求項6または7記載のEL表示パネルの駆動方法。

**【請求項 9】**

前記順方向電圧を印加した後、有機EL素子に対して0Vを印加することを特徴とする請求項6乃至8の何れかに記載のEL表示パネルの駆動方法。

**【請求項 10】**

前記順方向電圧は、有機EL素子の発光閾値未満の電圧であることを特徴とする請求項6乃至9の何れかに記載のEL表示パネルの駆動方法。 40

**【発明の詳細な説明】****【0001】****【発明の属する技術分野】**

本発明は、少なくとも電子輸送層、発光層及びホール輸送層より構成される有機EL素子を画素として用いるマトリクス型のEL表示パネルを駆動する駆動装置、及びEL表示パネルの駆動方法に関する。

**【0002】****【従来の技術】**

図5及び図6は、有機EL素子を用いた単純マトリクス型のEL表示パネルを駆動する場 50

合における従来の方式を示すものである。説明を簡単にするため、1本の陽極と3本の陰極との間に3個の有機EL素子が形成されているものを例とする。図5において、表示パネル1の画素を構成する有機EL素子2(1)～2(3)は、並列接続されたダイオードとコンデンサのシンボルで示されており、1本の陽極線(データ電極)3と3本の陰極線(走査電極)4(1)～4(3)との交点に形成されている。また、図6は、各部の信号波形を示すタイミングチャートである。

#### 【0003】

陰極線4(1)～4(3)は、有機EL素子2(1)～2(3)を順次発光対象として選択するため、走査側スイッチ5(1)～5(3)により逐一的且つ循環的にグランドレベル(GND)側に切替えられて走査され、それ以外の陰極線4は、発光対象以外の有機EL素子2の誤発光(クロストーク)を防止するため走査側スイッチ5により電位V<sub>r</sub>に切替えられる。

#### 【0004】

一方陽極線3は、その走査周期に同期して、発光対象の有機EL素子2を発光させる場合はデータ側スイッチ6が切替えられて電流源7に接続され、EL素子2に順方向電圧V<sub>c2</sub>を印加して発光させ、発光対象の有機EL素子2を発光させない場合は駆動スイッチ6が切替えられてグランドレベル側に切替えられるようになっている。

#### 【0005】

例えば、EL素子2(1)を発光させ、EL素子2(2), 2(3)を発光させない場合は、図6に示すように、走査期間T1において走査側スイッチ5(1)をグランド側に切り換えて陰極線4(1)をグランド電位に設定すると共に、データ側スイッチ6を電流源7側に切り換える。すると、EL素子2(1)の両端にだけ順方向電圧V<sub>c2</sub>が印加されて発光するようになる。また、EL素子2(2), 2(3)の両端には逆方向電圧(V<sub>c2</sub>-V<sub>r</sub>)が印加される。この場合、電圧(V<sub>c2</sub>-V<sub>r</sub>)は発光閾値電圧V<sub>th</sub>未満となるように設定される。

#### 【0006】

走査期間T1の終了後は、放電期間T<sub>r1</sub>においてスイッチ5, 6が全てグランド側に切替えられ、EL素子2の充電電荷を放電させて全てのEL素子2の充電状態が等しくなるようにしている。

#### 【0007】

続く走査期間T2では走査側スイッチ5(2)がグランドレベル側に切替えられるが、EL素子2(2)は発光させないので、データ側スイッチ6(1)はグランドレベル側のままとなる。すると、EL素子2(2)の端子電圧は0V、EL素子2(1), 2(3)の端子電圧は-V<sub>r</sub>となり何れも発光しない。その後、放電期間T<sub>r2</sub>を経た走査期間T3では同様の処理となり、EL素子2(3)の端子電圧は0V、EL素子2(1), 2(2)の端子電圧は-V<sub>r</sub>となる。

#### 【0008】

斯様にして走査側スイッチ5及びデータ側スイッチ6の切替えを高速で繰り返して任意の位置のEL素子2を発光させ、人間の目には複数のEL素子2が同時に発光しているように視認させることで表示パネル1に画像データを表示させるようにしている。

#### 【0009】

##### 【発明が解決しようとする課題】

ところが、各走査期間において発光対象外のEL素子2に逆方向電圧を印加することでEL素子2が絶縁破壊を起こし、破損するという現象が生じる場合がある。この現象の原因について本発明の発明者が調査した結果、以下のようなメカニズムが作用することが判明した。

#### 【0010】

図7(a)は、有機EL素子2の構造をコンデンサモデル的に示すものである。有機EL素子2は、陰極10, 電子輸送層(+発光層)11, ホール輸送層12及び陽極13で構成される。陰極10と陽極13との間に内部電荷が存在しない状態から逆バイアス電圧V

10

20

30

40

50

を印加することを想定すると、電圧印加直後は各層 1 1 , 1 2 に対して夫々の容量比に応じた電圧が配分される。その後、各層 1 1 , 1 2 に充電電荷が蓄積されると、電圧配分は各層の漏れ電流の比で決定される。

#### 【 0 0 1 1 】

ここで、電子輸送層 1 1 及びホール輸送層 1 2 のコンデンサパラメータが以下であるとする。

	比誘電率	導電率	層面積	層厚さ	
電子輸送層 1 1	$\epsilon_2$	$\sigma_2$	S	d 2	
ホール輸送層 1 2	$\epsilon_1$	$\sigma_1$	S	d 1	10

#### 【 0 0 1 2 】

また、図 7 ( b ) は、有機 E L 素子 2 の構造を等価回路的に示すものである。ホール輸送層 1 2 は抵抗 R 1 及びコンデンサ C 1 の並列回路、電子輸送層 1 1 は抵抗 R 2 及びコンデンサ C 2 の並列回路として表される。各抵抗値及び容量値は、上記パラメータによって以下のように表される。

$$R_1 = 1 d_1 / S \dots (1), C_1 = 1 0 S / d_1 \dots (2)$$

$$R_2 = 2 d_2 / S \dots (3), C_2 = 2 0 S / d_2 \dots (4)$$

#### 【 0 0 1 3 】

ここで、電子輸送層 1 1 , ホール輸送層 1 2 の界面における電位を V' , 抵抗 R 1 , R 2 に流れる漏れ電流を I 1 , I 2 , コンデンサ C 1 , C 2 に流れる充電電流を I x , I y とすると、各電流は以下のように表される。

$$I_1 = V' / R_1 \dots (5), I_2 = (V - V') / R_2 \dots (6)$$

$$I_x = C_1 \cdot dV / dt \dots (7)$$

$$I_y = C_1 \cdot d(V - V') / dt \dots (8)$$

V は一定であるから、(8) 式は (9) 式となる。

$$I_y = -C_1 \cdot dV' / dt \dots (9)$$

キルヒホッフの法則より、(10) 式が成り立つので、

$$I_1 + I_x = I_2 + I_y \dots (10)$$

(10) 式に (5) ~ (7) , (9) 式を代入して変形すると、(11) 式が得られる。 30

$$(1 / R_1 + 1 / R_2) \{ V' - V / R_2 / (1 / R_1 + 1 / R_2) \}$$

$$= - (C_1 + C_2) dV' / dt \dots (11)$$

#### 【 0 0 1 4 】

ここで、左辺中括弧部分を V x とおくと  $dV' / dt = dVx / dt$  となるので、(11) 式より次の微分方程式が得られる。

$$dVx / dt = - \{ (1 / R_1 + 1 / R_2) / (C_1 + C_2) \} dt \dots (12)$$

(12) 式の一般解は、

$$Vx = C \cdot 24x p (-t / ) \dots (13)$$

但し、C は定数、時定数 は、

$$= R_1 \cdot R_2 (C_1 + C_2) / (R_1 + R_2) \dots (14)$$

である。

#### 【 0 0 1 5 】

そして、t では、 $V' = R_1 \cdot V / (R_1 + R_2)$  であるから、コンデンサ C 1 , C 2 に充電される電荷量 Q 1 , Q 2 は次式のようになる。

$$Q_1 = C_1 \cdot R_1 \cdot V / (R_1 + R_2) \dots (15)$$

$$Q_2 = C_2 \cdot R_2 \cdot V / (R_1 + R_2) \dots (16)$$

誘電体層の界面に蓄積される電荷 Q は、(Q 1 - Q 2) であるから、

$$Q = [ (C_1 \cdot R_1 - C_2 \cdot R_2) V / \{ R_1 \cdot R_2 (C_1 + C_2) \} ]$$

$$\cdot \{ R_1 \cdot R_2 (C_1 + C_2) / (R_1 + R_2) \} \dots (17)$$

(17) 式に (1) ~ (4) 及び (15) 式を代入すると、

40

50

$$Q = V \cdot S ( 1 \cdot 2 - 2 \cdot 1 ) / ( d_1 \cdot 2 + d_2 \cdot 1 ) \cdots (18)$$

となる。例えば、実際の素子に使用されるパラメータ値の一例として、

$R_1 = 180$ ,  $C_1 = 3 \text{ nF}$ ,  $R_2 = 3900 \text{ M}$ ,  $C_2 = 2.7 \text{ nF}$ を代入するとは凡そ1秒程度となる。

#### 【0016】

斯様な界面電荷の蓄積によって、電子輸送層12では分圧が発生する。図8は、有機EL素子2に対して印加される駆動電圧波形に対して、電子輸送層12に発生する分圧の変化状態を示すものである。即ち、有機EL素子2に対して逆バイアス電圧を印加すると界面電荷が蓄積され、それにより発生する分圧により有機EL素子2の耐圧を越える電圧が瞬間に印加され、破壊に至る場合があるものと推定される。10

#### 【0017】

本発明は上記事情に鑑みてなされたものであり、その目的は、有機EL素子の誘電体層界面に蓄積される電荷による素子の破壊を防止することができるEL表示パネルの駆動装置及びEL表示パネルの駆動方法を提供することにある。

#### 【0018】

##### 【課題を解決するための手段】

請求項1記載のEL表示パネルの駆動装置によれば、EL表示パネルの走査期間の終了後から次回の走査期間が開始されるまでの間に、有機EL素子に対して順方向電圧を印加するので、誤発光を防止するために逆方向電圧が印加されることで発光層とホール輸送層との界面に蓄積された電荷を、前記順方向電圧によって消滅させることができる。従って、有機EL素子が破壊されることを防止できる。20

#### 【0019】

請求項2記載のEL表示パネルの駆動装置によれば、全ての走査電極を走査した後、次の走査が開始されるまでの間に前記順方向電圧を印加するので、順方向電圧の印加を1走査周期の終了後にまとめて行なうことになる。従って、順方向電圧の印加に要する時間を短縮することができ、有機EL素子の発光期間をより長くすることが可能となる。

#### 【0020】

請求項3記載のEL表示パネルの駆動装置によれば、少なくとも、直前の走査期間において逆方向電圧が印加された有機EL素子に対して前記順方向電圧を印加するので、その印加頻度の高低にかかわらず、蓄積された電荷を消滅させる必要がある有機EL素子に対して確実に順方向電圧を印加することができる。30

#### 【0021】

請求項4記載のEL表示パネルの駆動装置によれば、前記順方向電圧を印加した後、有機EL素子に対して0Vを印加するので、その時点の内部状態にかかわらず有機EL素子に充電されている電荷を放電させることができる。従って、次回の電圧印加時における立上がり特性が等しくなるように調整される。

#### 【0022】

請求項5記載のEL表示パネルの駆動装置によれば、連続する走査期間の間に印加する順方向電圧を有機EL素子の発光閾値未満の電圧とするので、その順方向電圧の印加によって有機EL素子が発光してしまうことを確実に防止することができる。40

#### 【0023】

##### 【発明の実施の形態】

###### (第1実施例)

以下、本発明の第1実施例について図1及び図2を参照して説明する。図1において、EL表示パネル21は、マトリクス状に配置された陽極線22(1)～22(m)と陰極線23(1)～23(n)との交点位置に有機EL素子24(1,1)～24(n,m)が形成されることで所謂単純マトリクス型として構成されている。

#### 【0024】

陰極線23(1)～23(n)には、それらに走査信号及び非走査信号を供給するための50

走査側ドライバ回路 25 が接続されている。この走査側ドライバ回路 25 は、陰極線 23 (1) ~ 23 (n) を所定電位レベルの電源電圧 ( $V_r$ ) または基準電位レベルであるグランド (0V) に接続するための走査スイッチ 25 (1) ~ 25 (n) を備えている。この場合、走査スイッチ 25 (1) ~ 25 (n) は、グランド側に接続された状態で陰極線 23 (1) ~ 23 (n) にグランドレベルの走査信号を供給し、電源電圧側に接続された状態で陰極線 23 (1) ~ 23 (n) に所定電位レベル ( $+V_r$ ) の非走査信号を供給する。

#### 【0025】

また、陽極線 22 (1) ~ 22 (m) には、それらに駆動信号または非駆動信号を供給するためのデータ側ドライバ回路 26 が接続されており、このデータ側ドライバ回路 26 は、電流源 27 (1) ~ 27 (m) と、陰極線 23 (1) ~ 23 (n) を電源端子から給電される電流源 27 (1) ~ 27 (m)、所定電位レベルの電源電圧  $V_{c1}$  ( $< V_{th}$ ) またはグランドに接続するための駆動スイッチ 26 (1) ~ 26 (m) とを備えている。この場合、駆動スイッチ 26 (1) ~ 26 (m) は、グランド側に接続された状態で陰極線 23 (1) ~ 23 (n) にグランドレベルの非駆動信号を供給し、電流源 27 (1) ~ 27 (m) 側に接続された状態で陰極線 23 (1) ~ 23 (n) に所定電位レベル ( $V_{c2}$ ) の駆動信号を供給することになる。

#### 【0026】

上記走査側ドライバ回路 25 及びデータ側ドライバ回路 26 は、制御回路 28 により動作される構成となっている。この制御回路 28 は、陰極線 23 (1) ~ 23 (n) に対して、走査側ドライバ回路 25 から一定の時間間隔で走査信号を供給することによりその順次走査を行うと共に、この走査周期に同期して陽極線 22 (1) ~ 22 (m) をデータ側ドライバ回路 26 からの駆動信号によりドライブし、これにより所望の交点位置の発光素子を発光させる制御を行う。

#### 【0027】

次に、本実施例の作用について図 2 を参照して説明する。制御回路 28 は、駆動対象の EL 素子 24 を切り替える際に以下に述べるような表示切り替え制御を行う。ここで、説明を簡単にするため、図 5 と同様に 1 本の陽極線 22 (1) と 3 本の陰極線 23 (1) ~ 23 (3)との間に形成されている 3 個の有機 EL 素子 24 (1, 1), 24 (2, 1), 24 (3, 1) のみに注目して、EL 素子 24 (1, 1)だけを点灯表示させる場合を述べる。

#### 【0028】

各走査期間  $T_1$  ~  $T_3$  における電圧の印加方式は図 6 に示す場合と同様であるが、各走査期間  $T_1$  ~  $T_3$  が終了すると、制御回路 28 は、走査側ドライバ回路 25 にスイッチ 25 (1) ~ 25 (3) を切替えさせて陰極線 23 (1) ~ 23 (3) をグランドレベルにすると共に、データ側ドライバ回路 26 にスイッチ 26 (1) を切替えさせ、陽極線 22 (1) に期間  $T_{rp}$  の間だけ順方向電圧  $V_{c1}$  を印加させる。すると、各 EL 素子 24 (1, 1), 24 (2, 1), 24 (3, 1) の両端には、順方向電圧  $V_{c1}$  が印加される。それから、制御回路 28 は、データ側ドライバ回路 26 にスイッチ 26 (1) を切替えさせ、陽極線 22 (1) を期間  $T_r$  の間だけグランドレベルにする。

#### 【0029】

即ち、期間  $T_{rp}$  の間、各 EL 素子 24 の両端に順方向電圧  $V_{c1}$  を印加することで、例えば走査期間  $T_1$  において、発光対象外となり逆方向電圧 ( $V_{c2} - V_r$ ) が印加されたために、発光層とホール輸送層との界面に蓄積されている電荷を急速に消滅することになる。

尚、上記の例は 1 つの陽極線 22 (1) についてのみ示したが、他の陽極線 22 (2) ~ 22 (m) についても、同じ走査期間に属するものはその終了後において同様の処理を行なうようとする。

#### 【0030】

ここで、順方向電圧  $V_{c1}$  を印加する場合のパラメータについて検討する。電子輸送層 (

10

20

30

40

50

+ 発光層) 1 1 とホール輸送層 1 2 の界面に蓄積される電荷 Q の時間変化  $dQ/dt$  は、次式で表される。

$$dQ/dt = I_y - I_x \quad \dots \quad (19)$$

(10) 式より、 $I_y - I_x = I_1 - I_2$  である。(13) 式より、 $V'$  は、

$$V' = C \cdot 24 \times p (-t/\tau) + V / R_2 / (1/R_1 + 1/R_2) \dots \quad (20)$$

$t = 0$  では、電流の殆どはコンデンサに流れるため、電圧  $V'$  は  $C_1, C_2$  の容量比で決まる。

$$V' (t=0) = C_2 \cdot V / (C_1 + C_2) \quad \dots \quad (21)$$

従って、(15) 式における定数は、

$$C = \{C_2 / (C_1 + C_2) - R_1 / (R_1 + R_2)\} V \quad \dots \quad (22)$$

となるので、(22) 式を(15) 式に代入すれば、電圧  $V'$  を求めることができる。

$$V' = [\{C_2 / (C_1 + C_2) - R_1 / (R_1 + R_2)\}$$

$$\cdot \exp(-t/\tau) + R_1 / (R_1 + R_2)] V \quad \dots \quad (23)$$

### 【0031】

以上から、(5), (6) 式に(23) 式並びに(1)~(4) 式を代入して  $(dQ/dt = I_1 - I_2)$  を求めると、

$$\begin{aligned} dQ/dt &= I_1 - I_2 \\ &= V \cdot S (\sigma_1 \epsilon_2 - \sigma_2 \epsilon_1) / (d_1 \epsilon_2 + d_2 \epsilon_1) \\ &\quad \cdot \exp(-t/\tau) \end{aligned} \quad \dots \quad (24)$$

微分方程式(24)を解けば、界面電荷 Q の時間変化を示す式(25)が得られる。

$$Q(t) = -V \cdot S \cdot (1_2 - 2_1) / (d_1 \epsilon_2 + d_2 \epsilon_1) \cdot \exp(-t/\tau) + K \quad \dots \quad (25)$$

但し、K は定数である。 $Q(0) = 0$  とすれば、定数 K は、

$$K = V \cdot S \cdot (1_2 - 2_1) / (d_1 \epsilon_2 + d_2 \epsilon_1) \quad \dots \quad (26)$$

従って、

$$Q(t) = V \cdot S \cdot (1_2 - 2_1) / (d_1 \epsilon_2 + d_2 \epsilon_1) \cdot \{1 - \exp(-t/\tau)\} \quad \dots \quad (27)$$

### 【0032】

ここで、界面電荷 Q を消去するために流す順方向電流を I, 順方向電圧のパルス幅を W, 逆方向電圧パルス幅を T とすれば、

$$I \cdot W - Q(T) \quad \dots \quad (28)$$

を満たす条件で順方向電圧  $V_{c1}$  を印加すれば、界面電荷 Q を確実に消去することができる。

### 【0033】

以上のように本実施例によれば、EL 表示パネル 2 1 の走査期間の終了後から次回の走査期間が開始されるまでの間に、有機 EL 素子 2 4 に対して順方向電圧  $V_{c1}$  を印加するので、誤発光を防止するために逆方向電圧が印加されることで発光層とホール輸送層との界面に蓄積された電荷を、順方向電圧  $V_{c1}$  によって消滅させることができる。従って、有機 EL 素子 2 4 が破壊されることを防止できる。そして、順方向電圧  $V_{c1}$  を有機 EL 素子 2 4 の発光閾値  $V_{th}$  未満の電圧とするので、順方向電圧  $V_{c1}$  の印加によって有機 EL 素子 2 4 が発光してしまうことを確実に防止することができる。

### 【0034】

また、本実施例によれば、順方向電圧  $V_{c1}$  を印加した後、有機 EL 素子 2 4 に対して 0 V を印加するので、その時点の内部状態にかかわらず有機 EL 素子 2 4 に充電されている電荷を放電させることができる。従って、次回の電圧印加時における立上がり特性が等しくなるように調整できる。

### 【0035】

(第 2 実施例)

10

20

30

40

50

図3及び図4は本発明の第2実施例を示すものであり、第1実施例と同一部分には同一符号を付して説明を省略し以下異なる部分についてのみ説明する。電気的構成を示す図3において、第2実施例では、データ側ドライバ回路26Aにおいて、所定電位レベルの電源電圧 $V_{c1}$ に代えて、電圧 $V_{c2}$ よりも高いレベルの電源電圧 $V_{c3}$ を陽極線22(1)に印加するようになっている。また、この電源電圧 $V_{c3}$ は、 $V_{c3} - V_r < V_{th}$ を満たすように設定されている。そして、制御回路28Aは、期間 $T_{rp}$ における走査側ドライバ回路25の切替え制御が第1実施例とは異なっている。

#### 【0036】

次に、第2実施例の作用について図4をも参照して説明する。各走査期間 $T_1 \sim T_3$ における電圧の印加方式は第1実施例の場合と同様であるが、期間 $T_{rp}$ において、制御回路28Aは、走査側ドライバ回路25により陰極線23(1)には電圧 $V_r$ を印加するよう切り替え、陰極線23(2), 23(3)については切り替えを行なうことなく電圧 $V_r$ を印加させた状態を保持させる。10

#### 【0037】

すると、各EL素子24(1, 1), 24(2, 1), 24(3, 1)の両端には、何れも順方向電圧( $V_{c3} - V_r$ )が印加される。それから、データ側ドライバ回路26にスイッチ26(1)を切替えさせ、陽極線22(1)を期間 $T_r$ の間だけグランドレベルにする処理は第1実施例と同様に行なう。

#### 【0038】

以上のように構成された第2実施例による場合も、第1実施例と同様に、走査期間 $T_1$ において、発光対外となり逆方向電圧( $V_{c2} - V_r$ )が印加されたために、発光層とホール輸送層との界面に蓄積されている電荷を、その後に順方向電圧( $V_{c3} - V_r$ )を印加することで急速に消滅させることができる。また、第2実施例では、第1実施例で用いた電圧 $V_{c1}$ よりも高い電圧 $V_{c3}$ を用いるので、耐ノイズ性が良好となる。20

#### 【0039】

本発明は上記し且つ図面に記載した実施例にのみ限定されるものではなく、以下のような変形または拡張が可能である。

走査期間の間に印加する順方向電圧は、必ずしも発光閾値未満にする必要はなく、発光閾値以上の電圧を印加して有機EL素子が発光するとしても、人間の視覚によって実質的に認識できない程度の発光であれば問題はない。30

蓄積電荷を消滅させるための順方向電圧の印加は、1つの走査期間とその次の走査期間との間であれば何時行っても良く、例えば、次の走査期間の直前に行っても良い。

また、順方向電圧の印加は、必ずしも各走査期間ごとに行う必要はなく、走査期間が数回実行される毎に1回行うようにしても良い。

#### 【0040】

更に、全走査電極の走査が終了した後、即ち、1走査周期が経過した後、次の走査電極の検査が開始されるまでの間に順方向電圧を印加するようにしても良い。斯様にすれば、順方向電圧の印加回数を極力少なくすることができるため、勇気EL素子の発光期間をより長くすることが可能となり、輝度を向上させることができる。また、回路構成も簡単になる。40

また、少なくとも、直前の走査期間において逆方向電圧が印加された有機EL素子に対して順方向電圧を印加するようにしても良い。この場合、順方向電圧の印加頻度の高低にかかわらず、蓄積された電荷を消滅させる必要がある有機EL素子に対して確実に順方向電圧を印加することができる。

#### 【図面の簡単な説明】

【図1】本発明の第1実施例であり、EL表示パネル及びその駆動装置の電気的構成を示す図

【図2】各部の信号波形を示すタイミングチャート

【図3】本発明の第2実施例を示す図1相当図

【図4】図2相当図

【図5】従来技術を示す図1相当図

【図6】図2相当図

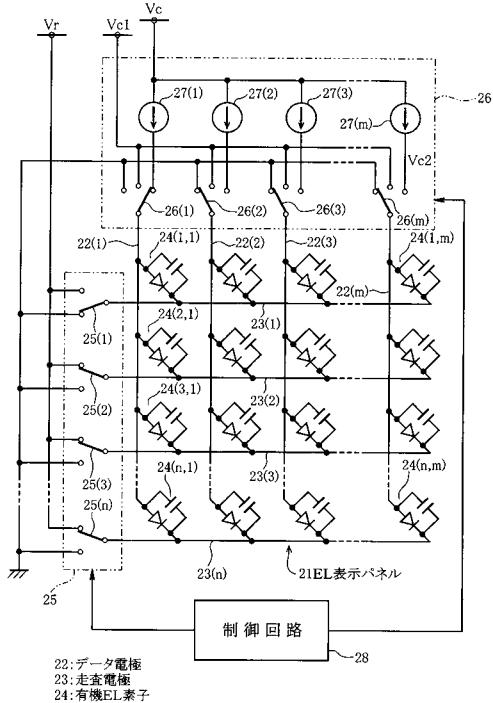
【図7】(a)は有機EL素子2の構造をコンデンサモデル的に示す図、(b)は有機EL素子2の構造を等価回路的に示す図

【図8】有機EL素子に対して印加される駆動電圧波形に対して、電子輸送層に発生する分圧の変化状態を示す図

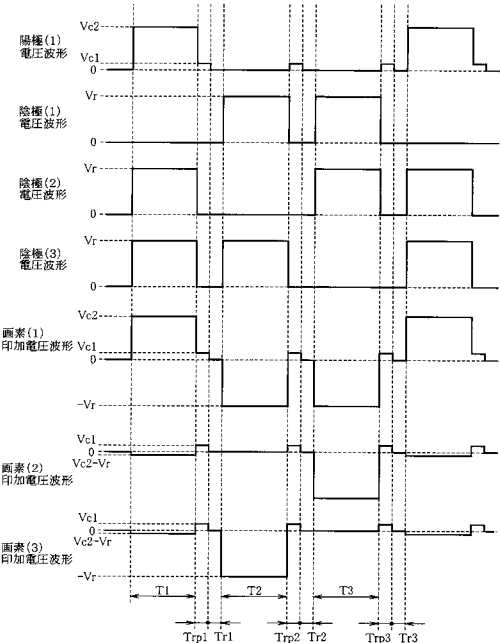
【符号の説明】

21はEL表示パネル、22は陽極線(データ電極)、23は陰極線(走査電極)、24は有機EL素子、28は制御回路を示す。

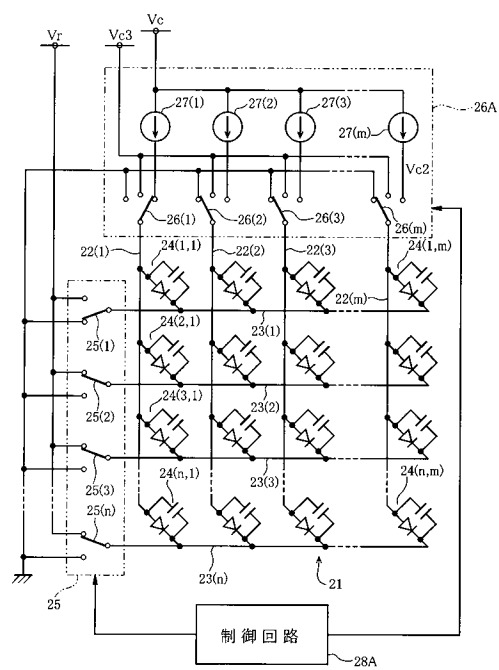
【図1】



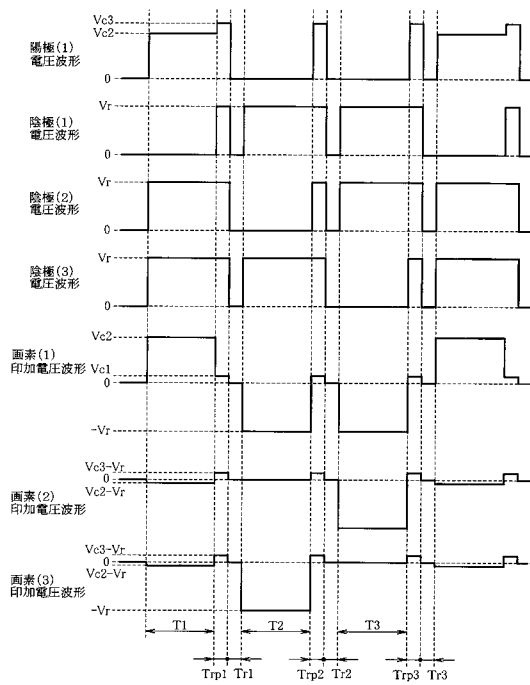
【図2】



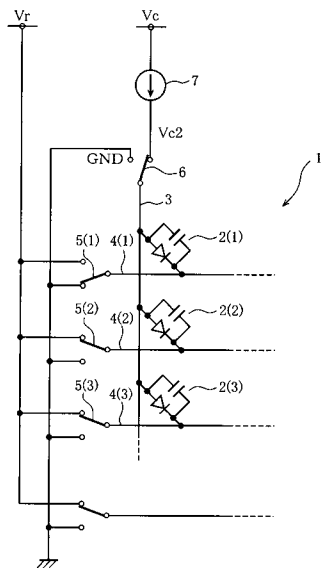
【図3】



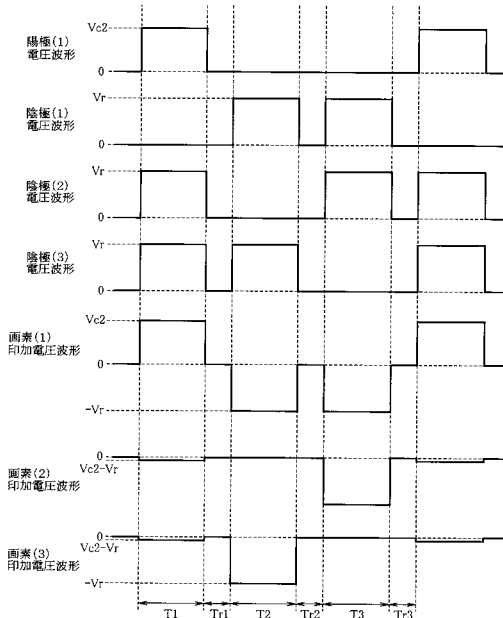
【図4】



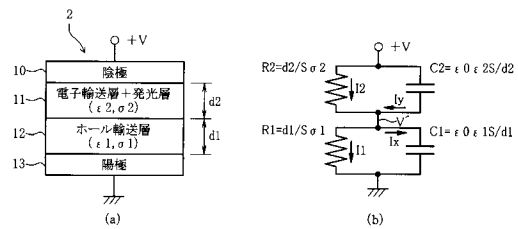
【図5】



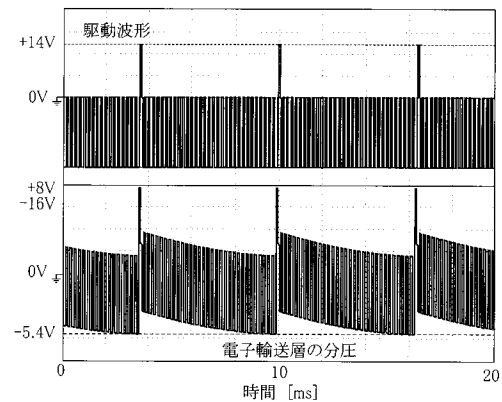
【図6】



【図7】



【図8】



专利名称(译)	EL显示面板的驱动装置和EL显示面板的驱动方法		
公开(公告)号	<a href="#">JP2004093633A</a>	公开(公告)日	2004-03-25
申请号	JP2002250973	申请日	2002-08-29
[标]申请(专利权)人(译)	日本电装株式会社		
申请(专利权)人(译)	Denso公司		
[标]发明人	犬塚肇 花木孝史		
发明人	犬塚 肇 花木 孝史		
IPC分类号	H01L51/50 G09G3/20 G09G3/30 H05B33/14		
FI分类号	G09G3/30.J G09G3/20.612.T G09G3/20.621.B G09G3/20.670.K H05B33/14.A G09G3/3216 G09G3/3266 G09G3/3275		
F-TERM分类号	3K007/AB05 3K007/DB03 3K007/GA00 5C080/AA06 5C080/BB05 5C080/DD18 5C080/DD29 5C080/FF12 5C080/JJ02 5C080/JJ04 3K107/AA01 3K107/BB01 3K107/CC26 3K107/CC29 3K107/EE02 3K107/FF04 3K107/HH01 3K107/HH02 3K107/HH04 5C380/AA01 5C380/AB05 5C380/CA08 5C380/CA53 5C380/CA54 5C380/CB01 5C380/CB31 5C380/CB32 5C380/CE05 5C380/CF52 5C380/HA03 5C380/HA05		
代理人(译)	佐藤 强		
外部链接	<a href="#">Espacenet</a>		

## 摘要(译)

**解决的问题：**提供一种EL显示面板的驱动装置，该驱动装置能够防止由于电荷累积在有机EL元件的介电层界面上而导致元件损坏。

SOLUTION：为了防止在EL显示面板21的扫描周期结束到下一个扫描周期开始之间向有机EL元件24施加正向电压Vc1来防止错误的发光。施加反向电压，并且消除在有机EL元件24的发光层和空穴传输层之间的界面处累积的电荷。[选型图]图1

